

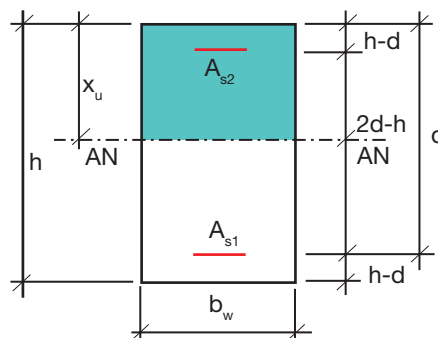
A4

Calcul manuel d'une section rectangulaire avec armatures symétriques à l'ELU par approximations successives

La solution la plus rapide pour résoudre le problème est obtenue en utilisant les diagrammes d'interaction (voir § 5, chapitre 11 : « Flexion composée », p. 443, avec lecture sur l'axe $O\mu_G$ pour la flexion simple). Dans le cas où l'on ne dispose pas de tels diagrammes, on peut utiliser la méthode par approximations successives exposée ci-après.

1. Hypothèses – Notations

Considérons la section rectangulaire symétrique définie ci-dessous :



$$A_{s1} = A_{s2} = A$$

On se place dans le cas où $0 \leq x_u \leq d$ (section avec au moins une nappe d'aciers tendus).

Cette section est sollicitée en flexion composée sous les sollicitations M_{EdA} et N_{Ed} ; le cas de la flexion simple – $N_{Ed} = 0$ – est traité au § 5 ci-après.

2. Moment de référence

2.1 Si $x_u < h - d$

Les aciers supérieurs sont tendus.

2.1.1 Remarques

Dans le cas général, on a, pour une poutre, $d \approx 0,9h$ et pour des bétons de classe au moins égale à C50/60, si l'on veut se placer au pivot A :

- dans le cas du diagramme σ - ϵ à palier incliné, il faut que :

$$h - d < \alpha_{AB} \cdot d \Leftrightarrow h < (1 + \alpha_{AB})d$$

$$d > \frac{1}{1 + \alpha_{AB}} h = \begin{cases} \frac{1}{1 + 0,1346} h = 0,88 \cdot h : \text{S 500 A} \\ \frac{1}{1 + 0,0722} h = 0,93 \cdot h : \text{S 500 B} \\ \frac{1}{1 + 0,0493} h = 0,95 \cdot h : \text{S 500 C} \end{cases}$$

- dans le cas du diagramme σ - ϵ à palier horizontal, il faut que :

$$\alpha_{AB} = 0 \Rightarrow d > h, \text{ ce qui est impossible.}$$

Par conséquent, dans le cas des poutres ($d \approx 0,9h$), on ne peut se trouver au pivot A que pour des bétons de classe au moins égale à C50/60 avec des aciers S 500 A.

2.1.2 Cas du pivot A

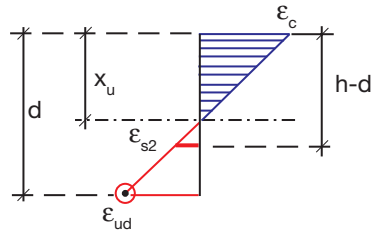
Les aciers avec diagramme σ - ϵ à palier horizontal ne permettent pas au diagramme des déformations de passer par le pivot A.

2.1.2.1 Aciers supérieurs

Au pivot A, l'allongement des aciers inférieurs est invariable et vaut ϵ_{ud} .

Allongement des aciers supérieurs :

$$\varepsilon_{s2} = \varepsilon_{ud} \frac{h - d - x_u}{d - x_u}$$



Contrainte des aciers supérieurs supposée prise sur la droite de Hooke :

$$\sigma_{s2} = E_s \cdot \varepsilon_{s2} = 2 \cdot 10^5 \cdot \varepsilon_{ud} \frac{h - d - x_u}{d - x_u} \quad [1]$$

Cette contrainte est maximale pour $x_u = 0$ et vaut alors :

$$\sigma_{s2, \max} = 2 \cdot 10^5 \cdot \varepsilon_{ud} \left(\frac{h}{d} - 1 \right)$$

Pour les aciers S 500, $\sigma_{s2, \max}$ reste sur la droite de Hooke tant que :

$$\sigma_{s2, \max} \leq f_{yd} \Leftrightarrow 2 \cdot 10^5 \cdot \varepsilon_{ud} \left(\frac{h}{d} - 1 \right) \leq f_{yd} = 435 \text{ MPa,}$$

nous en déduisons :

$$\sigma_{s2, \max} \leq f_{yd} \Leftrightarrow \frac{h}{d} \leq \frac{435}{2 \cdot 10^5 \cdot \varepsilon_{ud}} + 1$$

$$\Rightarrow \frac{h}{d} \leq \begin{cases} \frac{435}{2 \cdot 10^5 \cdot 22,5 \cdot 10^{-3}} + 1 = 1,097 : \text{classe A} \\ \frac{435}{2 \cdot 10^5 \cdot 45 \cdot 10^{-3}} + 1 = 1,048 : \text{classe B} \\ \frac{435}{2 \cdot 10^5 \cdot 67,5 \cdot 10^{-3}} + 1 = 1,032 : \text{classe C} \end{cases}$$

$$\rightarrow d \geq \begin{cases} 0,91 \cdot h : \text{classe A} \\ 0,95 \cdot h : \text{classe B} \\ 0,97 \cdot h : \text{classe C} \end{cases}$$

Comme pour une poutre $d \approx 0,9h$, nous ne sommes pas assurés que la contrainte des aciers supérieurs soit toujours située sur la droite de Hooke.

2.1.2.2 Aciers inférieurs

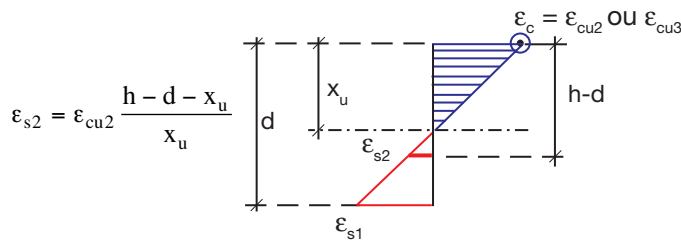
Au pivot A, l'allongement des aciers inférieurs étant invariable et égal à ϵ_{ud} , la contrainte correspondante vaut (voir § 2.4.2.1, chapitre 3 : « Béton armé – Généralités », p. 53) :

$$\sigma_{s1} = \begin{cases} 454 \text{ MPa} : \text{S 500 A,} \\ 466 \text{ MPa} : \text{S 500 B,} \\ 493 \text{ MPa} : \text{S 500 C.} \end{cases}$$

2.1.3 Cas du pivot B

2.1.3.1 Aciers supérieurs

Allongement des aciers supérieurs :



Contrainte des aciers supérieurs supposée prise sur la droite de Hooke :

$$\sigma_{s2} = E_s \cdot \epsilon_{s2} = 2 \cdot 10^5 \cdot \epsilon_{cu2} \frac{h - d - x_u}{x_u} \quad [1']$$

2.1.3.2 Aciers inférieurs

Allongement des aciers inférieurs :

$$\epsilon_{s1} = \epsilon_{cu2} \frac{d - x_u}{x_u}$$

Contrainte des aciers inférieurs supposée prise sur la droite de Hooke :

$$\sigma_{s1} = E_s \cdot \epsilon_{s1} = 2 \cdot 10^5 \cdot \epsilon_{cu2} \frac{d - x_u}{x_u}$$

Pour les aciers S 500 et des bétons de classe au plus égale à C50/60, σ_{s1} reste sur la droite de Hooke tant que :

$$\sigma_{s1} \leq f_{yd} \Leftrightarrow \overbrace{2 \cdot 10^5 \cdot 3,5 \cdot 10^{-3}}^{700} \frac{d - x_u}{x_u} \leq f_{yd}$$

Nous en déduisons :

$$x_u \geq \frac{700.d}{700 + f_{yd}} = \frac{700.d}{700 + 435} = 0,62.d$$

Comme nous avons supposé que $x_u \leq h - d$, pour les poutres $d \approx 0,9h$ donne $x_u \leq 0,1.d$. Il en résulte que la contrainte des aciers inférieurs se trouve toujours sur le palier (horizontal ou incliné) du diagramme contraintes-déformations de l'acier.

2.2 Si $x_u = h - d$

L'axe neutre passant par le centre de gravité des aciers supérieurs :

$$\varepsilon_{s2} = 0 \Rightarrow \sigma_{s2} = 0.$$

D'où le moment que peut équilibrer la section, rapporté aux aciers inférieurs dans le cas où $x_u = h - d$:

$$M_{RS} = \lambda \cdot b_w (h - d) f_{cu} \left[d - \frac{\lambda}{2} (h - d) \right],$$

$$M_{RS} = \lambda \cdot b_w \cdot d^2 \cdot f_{cu} \left(\frac{h}{d} - 1 \right) \cdot \left(1 + \frac{\lambda}{2} - \frac{\lambda}{2} \cdot \frac{h}{d} \right),$$

$$M_{RS} = \left(\frac{h}{d} - 1 \right) \cdot \left[\left(\lambda + \frac{\lambda^2}{2} \right) - \frac{\lambda^2}{2} \cdot \frac{h}{d} \right] b_w \cdot d^2 \cdot f_{cu}.$$

Nous remarquerons que pour les bétons de classe au moins égale à C50/60, nous avons $\lambda = 0,8$ et :

$$\left. \begin{array}{l} \lambda + \frac{\lambda^2}{2} = 0,8 + \frac{0,8^2}{2} = 1,12 \\ \frac{\lambda^2}{2} = \frac{0,8^2}{2} = 0,32 \end{array} \right\} \Rightarrow M_{RS} = \left(\frac{h}{d} - 1 \right) \cdot \left(1,12 - 0,32 \frac{h}{d} \right) b_w \cdot d^2 \cdot f_{cu}$$

2.3 Si $x_u > h - d$

Voir § 3.2 ci-après.

3. Mise en équation du problème

3.1 Cas où $M_{EdA} \leq M_{RS} (\Leftrightarrow x_u \leq h - d)$

Les aciers supérieurs sont tendus et les équations d'équilibre donnent :

$$\begin{cases} N_{Ed} = \lambda \cdot b_w \cdot x_u \cdot f_{cu} - A(\sigma_{s2} + \sigma_{s1}), \\ M_{EdA} = \lambda \cdot b_w \cdot x_u \cdot f_{cu} \left(d - \frac{\lambda}{2} x_u \right) - A \cdot \sigma_{s2} (2d - h), \end{cases}$$

avec :

- au pivot A si $x_u \leq \frac{\epsilon_{cu2}}{\epsilon_{cu2} + \epsilon_{ud}} d$:

$$\epsilon_{s2} = \epsilon_{ud} \frac{h - d - x_u}{d - x_u},$$

$$\Rightarrow \begin{cases} \text{si } \epsilon_{s2} < \epsilon_{yd} = \frac{f_{yd}}{E_s} : \sigma_{s2} = E_s \cdot \epsilon_{s2} = 2.10^5 \cdot \epsilon_{s2} \\ \text{si } \epsilon_{s2} \geq \epsilon_{yd} = \frac{f_{yd}}{E_s} : \sigma_{s2} = \begin{cases} A + B \cdot \epsilon_{s2} : \text{diagramme } \sigma - \epsilon \text{ à palier incliné,} \\ f_{yd} : \text{diagramme } \sigma - \epsilon \text{ à palier horizontal.} \end{cases} \end{cases}$$

les coefficients A et B sont ceux figurant au § 2.4.2.1, chapitre 3 : « Béton armé – Généralités », p. 53, suivant la classe d'aciers considérés (pour les aciers avec diagramme σ - ϵ à palier horizontal, on ne peut se trouver au pivot A),

$$\epsilon_{s1} = \epsilon_{ud},$$

$$\Rightarrow \sigma_{s1} = \begin{cases} 454 \text{ MPa} : \text{S 500 A,} \\ 466 \text{ MPa} : \text{S 500 B,} \\ 493 \text{ MPa} : \text{S 500 C.} \end{cases}$$

- au pivot B si $x_u > \frac{\epsilon_{cu2}}{\epsilon_{cu2} + \epsilon_{ud}} d$:

$$\epsilon_{s2} = \epsilon_{cu2} \frac{h - d - x_u}{x_u},$$

$$\Rightarrow \begin{cases} \text{si } \epsilon_{s2} < \epsilon_{yd} = \frac{f_{yd}}{E_s} : \sigma_{s2} = E_s \cdot \epsilon_{s2} = 2.10^5 \cdot \epsilon_{s2} \\ \text{si } \epsilon_{s2} \geq \epsilon_{yd} = \frac{f_{yd}}{E_s} : \sigma_{s2} = \begin{cases} A + B \cdot \epsilon_{s2} : \text{diagramme } \sigma - \epsilon \text{ à palier incliné,} \\ f_{yd} : \text{diagramme } \sigma - \epsilon \text{ à palier horizontal.} \end{cases} \end{cases}$$

$$\varepsilon_{s1} = \varepsilon_{cu2} \frac{d - x_u}{x_u},$$

$$\Rightarrow \sigma_{s1} = \begin{cases} A + B \cdot \varepsilon_{s1} : \text{diagramme } \sigma - \varepsilon \text{ à palier incliné,} \\ f_{yd} : \text{diagramme } \sigma - \varepsilon \text{ à palier horizontal,} \end{cases}$$

A_{s1} et x_u sont inconnus a priori.

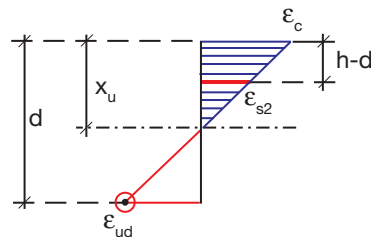
3.2 Cas où $M_{EdA} > M_{RS} (\Leftrightarrow x_u > h - d)$

Les aciers supérieurs sont comprimés.

3.2.1 Cas où $h - d < x_u \leq \frac{\varepsilon_{cu2}}{\varepsilon_{cu2} + \varepsilon_{ud}} d$ et où le diagramme $\sigma - \varepsilon$ des aciers est à palier incliné

On est au pivot A et le raccourcissement des aciers supérieurs vaut :

$$\varepsilon_{s2} = \varepsilon_{ud} \cdot \frac{x_u - (h - d)}{d - x_u}$$



D'où leur contrainte supposée prise sur la droite de Hooke :

$$\sigma_{s2} = E_s \cdot \varepsilon_{s2} = 2 \cdot 10^5 \cdot \varepsilon_{ud} \frac{x_u - h + d}{d - x_u} \quad [4]$$

Cette contrainte ne peut atteindre f_{yd} que si :

$$\sigma_{s2} \geq f_{yd} \Leftrightarrow 2 \cdot 10^5 \cdot \varepsilon_{ud} \frac{x_u - h + d}{d - x_u} \geq f_{yd},$$

$$x_u \geq \frac{d \cdot f_{yd} + 2 \cdot 10^5 \cdot \varepsilon_{ud} (h - d)}{2 \cdot 10^5 \cdot \varepsilon_{ud} + f_{yd}}$$

Ou, comme on a supposé $x_u \leq \frac{\varepsilon_{cu2}}{\varepsilon_{cu2} + \varepsilon_{ud}} d$, si :

634 *Pratique de l'eurocode 2*

$$\frac{2 \cdot 10^5 \cdot \varepsilon_{ud} \cdot h - d(2 \cdot 10^5 \cdot \varepsilon_{ud} - f_{yd})}{2 \cdot 10^5 \cdot \varepsilon_{ud} + f_{yd}} \leq \frac{\varepsilon_{cu2}}{\varepsilon_{cu2} + \varepsilon_{ud}} d.$$

Cette circonstance ne peut se rencontrer que si :

$$2 \cdot 10^5 \cdot \varepsilon_{ud} \cdot h - 2 \cdot 10^5 \cdot \varepsilon_{ud} \cdot d + d \cdot f_{yd} \leq 2 \cdot 10^5 \cdot \varepsilon_{ud} \frac{\varepsilon_{cu2}}{\varepsilon_{cu2} + \varepsilon_{ud}} d + \frac{\varepsilon_{cu2}}{\varepsilon_{cu2} + \varepsilon_{ud}} d \cdot f_{yd}$$

$$f_{yd} \leq \frac{-2 \cdot 10^5 \cdot \varepsilon_{ud} \cdot h + 2 \cdot 10^5 \cdot \varepsilon_{ud} \left(1 + \frac{\varepsilon_{cu2}}{\varepsilon_{cu2} + \varepsilon_{ud}}\right) d}{\left(1 - \frac{\varepsilon_{cu2}}{\varepsilon_{cu2} + \varepsilon_{ud}}\right) d}$$

$$f_{yd} \leq 2 \cdot 10^5 \cdot \varepsilon_{ud} \frac{-h + \left(1 + \frac{\varepsilon_{cu2}}{\varepsilon_{cu2} + \varepsilon_{ud}}\right) d}{\left(1 - \frac{\varepsilon_{cu2}}{\varepsilon_{cu2} + \varepsilon_{ud}}\right) d},$$

Ce qui conduit, dans le cas général où $h \approx 1,1 \cdot d$ et où $\varepsilon_{cu2} = 3,5 \%$ ($f_{ck} \leq 50 \text{ MPa}$) à :

$$f_{yd} \leq 2 \cdot 10^5 \cdot \varepsilon_{ud} \frac{-1,1 + \left(1 + \frac{\varepsilon_{cu2}}{\varepsilon_{cu2} + \varepsilon_{ud}}\right)}{1 - \frac{\varepsilon_{cu2}}{\varepsilon_{cu2} + \varepsilon_{ud}}}$$

$$f_{yd} \leq \begin{cases} 180 \text{ MPa} : \text{S 500 A } (\varepsilon_{ud} = 22,5 \%) \\ -270 \text{ MPa} : \text{S 500 B } (\varepsilon_{ud} = 45 \%) \\ -720 \text{ MPa} : \text{S 500 C } (\varepsilon_{ud} = 67,5 \%) \end{cases}.$$

Conclusion

Dans le cas envisagé ($h - d < x_u \leq \frac{\varepsilon_{cu2}}{\varepsilon_{cu2} + \varepsilon_{ud}} d$), si l'on emploie des aciers

S 500, $f_{yd} = 435 \text{ MPa} > 180 \text{ MPa}$ et la contrainte des aciers supérieurs ne peut atteindre f_{yd} .

Les équations d'équilibre s'écrivent donc :

$$\begin{cases} N_{Ed} = \lambda \cdot b_w \cdot x_u \cdot f_{cu} + A \cdot \sigma_{s2} - A \cdot \sigma_{s1} \\ = \lambda \cdot b_w \cdot x_u \cdot f_{cu} - A \cdot (\sigma_{s1} - \sigma_{s2}), \end{cases} \quad [5]$$

$$M_{EdA} = \lambda \cdot b_w \cdot x_u \cdot f_{cu} \left(d - \frac{\lambda}{2} x_u\right) + A \cdot \sigma_{s2} (2d - h), \quad [6]$$

avec :

$$\sigma_{s2} = E_s \cdot \varepsilon_{s2} = 2 \cdot 10^5 \cdot \varepsilon_{ud} \frac{x_u - h + d}{d - x_u} \text{ et } \sigma_{s1} = \begin{cases} 454 \text{ MPa : S 500 A,} \\ 466 \text{ MPa : S 500 B,} \\ 493 \text{ MPa : S 500 C.} \end{cases}$$

A_{s1} et x_u sont inconnus a priori.

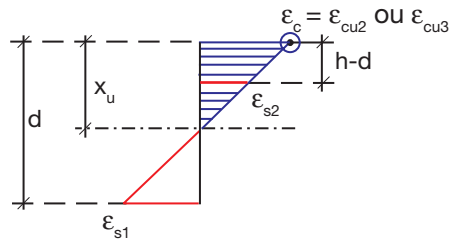
3.2.2 Autres cas

Il s'agit des cas suivants :

- $x_u > \frac{\varepsilon_{cu2}}{\varepsilon_{cu2} + \varepsilon_{ud}} d$ pour les aciers avec diagramme σ - ε à palier incliné ;
- aciers avec diagramme σ - ε à palier horizontal, quelle que soit la valeur de x_u .

On est au pivot B et le raccourcissement des aciers supérieurs vaut :

$$\varepsilon_{s2} = \varepsilon_{cu2} \frac{x_u - (h - d)}{x_u}$$



D'où leur contrainte supposée prise sur la droite de Hooke :

$$\sigma_{s2} = E_s \cdot \varepsilon_{s2} = 2 \cdot 10^5 \cdot \varepsilon_{cu2} \frac{x_u - (h - d)}{x_u} \quad [7]$$

Cette valeur n'atteint f_{yd} que si :

$$\sigma_{s2} \geq f_{yd} \Leftrightarrow 2 \cdot 10^5 \cdot \varepsilon_{cu2} \frac{x_u - (h - d)}{x_u} \geq f_{yd},$$

$$x_u \geq \frac{2 \cdot 10^5 \cdot \varepsilon_{cu2} (h - d)}{2 \cdot 10^5 \cdot \varepsilon_{cu2} - f_{yd}} = x_e.$$

Ce qui conduit pour les aciers S 500 et $h \approx 1,1 \cdot d$ à :

$$x_e = \frac{2 \cdot 10^5 \cdot \varepsilon_{cu2}}{2 \cdot 10^5 \cdot \varepsilon_{cu2} - f_{yd}} (h - d) \quad [8]$$

636 *Pratique de l'eurocode 2***Remarque**

Pour des bétons de classe de résistance au plus égale à C50/60 : $\epsilon_{cu2} = 3,5 \text{ ‰}$ et pour des aciers S 500 :

$$x_e = \frac{2 \cdot 10^5 \cdot 3,5 \cdot 10^{-3}}{2 \cdot 10^5 \cdot 3,5 \cdot 10^{-3} - 435} (h - d) = 2,64 (h - d) \quad [8']$$

Conclusion

En posant : $x_e = \frac{2 \cdot 10^5 \cdot \epsilon_{cu2}}{2 \cdot 10^5 \cdot \epsilon_{cu2} - f_{yd}} (h - d) :$

1/ si $h - d < x_u \leq x_e$, les équations d'équilibre s'écrivent :

$$\begin{cases} N_{Ed} = \lambda \cdot b_w \cdot x_u \cdot f_{cu} + A \cdot (\sigma_{s2} - \sigma_{s1}) \\ \quad = \lambda \cdot b_w \cdot x_u \cdot f_{cu} - A \cdot (\sigma_{s1} - \sigma_{s2}), \end{cases} \quad [9]$$

$$M_{EdA} = \lambda \cdot b_w \cdot x_u \cdot f_{cu} \left(d - \frac{\lambda}{2} x_u \right) + A \cdot \sigma_{s2} (2d - h), \quad [10]$$

avec :

$$\sigma_{s2} = 2 \cdot 10^5 \cdot \epsilon_{cu2} \frac{x_u - (h - d)}{x_u},$$

$$\epsilon_{s1} = \epsilon_{cu2} \frac{d - x_u}{x_u},$$

$$\Rightarrow \begin{cases} \text{si } \epsilon_{s1} < \epsilon_{yd} = \frac{f_{yd}}{E_s} : \sigma_{s1} = E_s \cdot \epsilon_{s1} = 2 \cdot 10^5 \cdot \epsilon_{s1} \\ \text{si } \epsilon_{s1} \geq \epsilon_{yd} = \frac{f_{yd}}{E_s} : \sigma_{s1} = \begin{cases} A + B \cdot \epsilon_{s1} : \text{diagramme } \sigma - \epsilon \text{ à palier incliné,} \\ f_{yd} : \text{diagramme } \sigma - \epsilon \text{ à palier horizontal,} \end{cases} \end{cases}$$

A_{s1} et x_u sont inconnus a priori.

2/ si $x_u > x_e$, $\sigma_{s2} \geq f_{cd}$ et les équations d'équilibre deviennent :

$$\begin{cases} N_{Ed} = \lambda \cdot b_w \cdot x_u \cdot f_{cu} + A \cdot (\sigma_{s2} - \sigma_{s1}) \\ \quad = \lambda \cdot b_w \cdot x_u \cdot f_{cu} - A \cdot (\sigma_{s1} - \sigma_{s2}), \end{cases} \quad [9]$$

$$M_{EdA} = \lambda \cdot b_w \cdot x_u \cdot f_{cu} \left(d - \frac{\lambda}{2} x_u \right) + A \cdot \sigma_{s2} (2d - h), \quad [10]$$

avec :

$$\varepsilon_{s2} = \varepsilon_{cu2} \frac{x_u - (h - d)}{x_u},$$

$$\Rightarrow \sigma_{s2} = \begin{cases} A + B \cdot \varepsilon_{s2} : \text{diagramme } \sigma - \varepsilon \text{ à palier incliné,} \\ f_{yd} : \text{diagramme } \sigma - \varepsilon \text{ à palier horizontal.} \end{cases}$$

$$\varepsilon_{s1} = \varepsilon_{cu2} \frac{d - x_u}{x_u},$$

$$\Rightarrow \begin{cases} \text{si } \varepsilon_{s1} < \varepsilon_{yd} = \frac{f_{yd}}{E_s} : \sigma_{s1} = E_s \cdot \varepsilon_{s1} = 2 \cdot 10^5 \cdot \varepsilon_{s1} \\ \text{si } \varepsilon_{s1} \geq \varepsilon_{yd} = \frac{f_{yd}}{E_s} : \sigma_{s1} = \begin{cases} A + B \cdot \varepsilon_{s1} : \text{diagramme } \sigma - \varepsilon \text{ à palier incliné,} \\ f_{yd} : \text{diagramme } \sigma - \varepsilon \text{ à palier horizontal,} \end{cases} \end{cases}$$

4. Méthode par approximations successives

On opère de la façon suivante :

- 1/ déterminer dans quel cas on se trouve en comparant M_{EdA} à M_{RS} (aciers supérieurs comprimés ou tendus, voir § 3.2) ;
- 2/ en se donnant x_u , calculer les contraintes σ_{s2} et σ_{s1} correspondantes ;
- 3/ en déduire A_{s1} par l'équation d'équilibre des moments ;
- 4/ évaluer N_{Ed} à partir de x_u et A_{s1} trouvé à l'étape 3 ;
- 5/ comparer la valeur de N_{Ed} trouvée à l'étape 4 à celle de $N_{Ed, \text{réel}}$ et reprendre le calcul depuis l'étape 2 en modifiant la valeur de x_u jusqu'à ce que $N_{Ed, \text{calculé}} \approx N_{Ed, \text{réel}}$.

5. Cas de la flexion simple

La seule chose qui change est que $N_{Ed} = 0$ dans les équations d'équilibre.

Pour les aciers avec diagramme σ - ε à palier horizontal, le cas où $x_u > x_e$ ne peut se rencontrer. Dans un tel cas, l'équilibre devrait être assuré par les aciers seuls (voir $\sigma_{s1} = \sigma_{s2} = f_{yd}$ avec $N_{Ed} = 0 \Rightarrow x_u = 0$ par l'équation [9]) sans intervention du béton comprimé entourant les armatures supérieures comprimées, ce qui n'est pas possible.

6. Conclusion

Compte tenu des développements ci-dessus, on voit que, même en flexion simple, la solution la plus rapide est fournie par les diagrammes d'interaction (voir § 5.8, chapitre 11 : « Flexion composée », p. 443, lecture sur l'axe O_{μ_G} pour la flexion simple).

Les développements précédents ayant été conduits uniquement à l'ELU, il reste à vérifier, à l'ELS, les contraintes du béton comprimé et des aciers tendus lorsque celles-ci sont limitées.

7. Organigramme

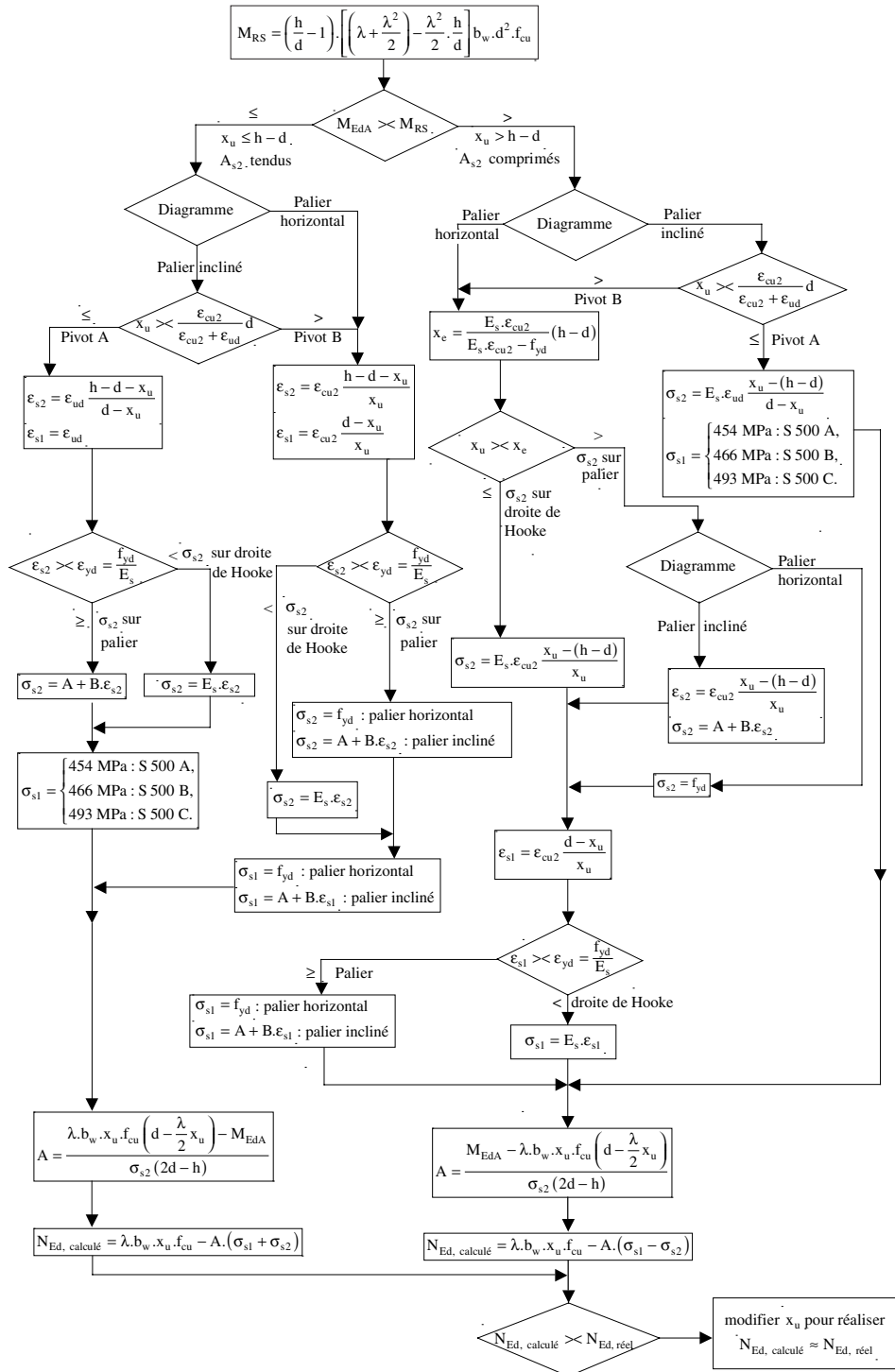
Données :

- géométrie de la section : b_w , h , d ;
- sollicitations : M_{EdA} et $N_{Ed, \text{réel}}$;
- matériaux :
 - béton : f_{cu} , ϵ_{cu2} ;
 - aciers : f_{yd} , ϵ_{ud} , forme du diagramme σ - ϵ , E_s ;
- position arbitraire de l'axe neutre : x_u .

Résultats : section d'aciers $A = A_{s1} = A_{s2}$

Remarque

Dans l'organigramme ci-dessous, les coefficients A et B intervenant dans les expressions de σ_{s1} et σ_{s2} sont ceux figurant au § 2.4.2.1, chapitre 3 : « Béton armé – Généralités », p. 53, suivant la classe d'aciers considérés.



8. Applications numériques

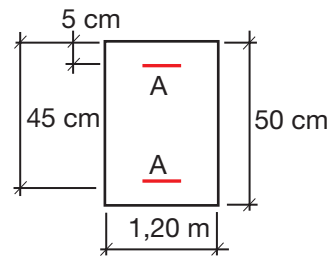
8.1 Pose du problème n° 1 – Cas où $M_{EdA} \leq M_{RS}$

On considère la section rectangulaire symétrique définie ci-contre.

Matériaux :

- béton : $f_{cu} = 16,7$ MPa, $\epsilon_{cu2} = 0,0035$;
- aciers : $f_{yd} = 435$ MPa, $E_s = 2 \cdot 10^5$ MPa.

Sollicitations : $M_{EdA} = 0,160$ mMN,
 $N_{Ed} = 0,12633$ MN.



Nous nous proposons de déterminer les armatures dans les cas suivants :

- aciers avec diagramme σ - ϵ à palier horizontal ($\epsilon_{ud} = \infty$) ;
- aciers avec diagramme σ - ϵ à palier incliné ($\epsilon_{ud} = 45$ ‰, $B = 727,27$ et $A = 433,20$ pour aciers S 500 B).

8.2 Solution

8.2.1 Cas du diagramme σ - ϵ à palier horizontal

Moment de référence :

$$M_{RS} = \left(\frac{h}{d} - 1\right) \cdot \left[\left(\lambda + \frac{\lambda^2}{2}\right) - \frac{\lambda^2}{2} \cdot \frac{h}{d}\right] b_w \cdot d^2 \cdot f_{cu}$$

$$M_{RS} = \left(\frac{0,50}{0,45} - 1\right) \cdot \left[\left(0,8 + \frac{0,8^2}{2}\right) - \frac{0,8^2}{2} \cdot \frac{0,50}{0,45}\right] 1,20 \cdot 0,45^2 \cdot 16,7$$

$$M_{RS} = 0,345 \text{ mMN}$$

Position de l'axe neutre :

$$M_{EdA} \gg M_{RS}$$

$$M_{EdA} = 0,160 \text{ mMN} < 0,345 \text{ mMN} = M_{RS}$$

$x_u < h - d$ et les aciers supérieurs sont tendus.

Comme $h - d = 0,05$ m, prenons $x_u = 0,03$ m.

Première itération :

diagramme σ - ϵ à palier horizontal \Rightarrow Pivot B

$$\varepsilon_{s2} = \varepsilon_{cu2} \frac{h - d - x_u}{x_u}$$

$$\varepsilon_{s2} = 0,0035 \frac{0,50 - 0,45 - 0,03}{0,03} = 0,00233$$

$$\varepsilon_{s1} = \varepsilon_{cu2} \frac{d - x_u}{x_u}$$

$$\varepsilon_{s1} = 0,0035 \frac{0,45 - 0,03}{0,03} = 0,049$$

$$\varepsilon_{s2} \gg \varepsilon_{yd} = \frac{f_{yd}}{E_s}$$

$$\varepsilon_{s2} = 0,00233 > 0,00218 = \varepsilon_{yd} = \frac{435}{2.10^5}$$

$$\Rightarrow \sigma_{s2} = f_{yd} = 435 \text{ MPa}$$

$$\varepsilon_{s1} \gg \varepsilon_{yd} = \frac{f_{yd}}{E_s}$$

$$\varepsilon_{s1} = 0,049 > 0,00218 = \varepsilon_{yd} = \frac{435}{2.10^5}$$

$$\Rightarrow \sigma_{s1} = f_{yd} = 435 \text{ MPa}$$

$$A = \frac{\lambda \cdot b_w \cdot x_u \cdot f_{cu} \left(d - \frac{\lambda}{2} x_u \right) - M_{EdA}}{\sigma_{s2} (2d - h)}$$

$$A = \frac{0,8 \cdot 1,20 \cdot 0,03 \cdot 16,7 \left(0,45 - \frac{0,8}{2} \cdot 0,03 \right) - 0,160}{435 (2 \cdot 0,45 - 0,50)}$$

$$A = 2,91 \text{ cm}^2$$

$$N_{Ed, \text{ calculé}} = \lambda \cdot b_w \cdot x_u \cdot f_{cu} - A \cdot (\sigma_{s1} + \sigma_{s2})$$

$$N_{Ed, \text{ calculé}} = 0,8 \cdot 1,20 \cdot 0,03 \cdot 16,7 - 2,91 \cdot 10^{-4} \cdot (435 + 435)$$

$$N_{Ed, \text{ calculé}} = 0,228 \text{ MN}$$

$$N_{Ed, \text{ calculé}} \gg N_{Ed, \text{ réel}}$$

$$N_{Ed, \text{ calculé}} = 0,228 \text{ MN} > 0,12633 \text{ MN} = N_{u, \text{ réel}}$$

Comme $N_{Ed, \text{ calculé}} > N_{Ed, \text{ réel}}$, nous allons augmenter la valeur de x_u , ce qui aura pour effet de diminuer la contrainte σ_{s2} (mais faiblement) et d'augmenter la section d'aciers A (fortement) d'où le terme soustractif de $N_{Ed, \text{ calculé}}$ augmente.

Itérations suivantes :

Étant donné la pente du diagramme contraintes-déformations de l'acier, σ_{s2} varie très vite.

Essayons $x_u = 0,045 \text{ m}$ et cherchons, par itérations successives à réaliser $N_{Ed, \text{ calculé}} \approx N_{Ed, \text{ réel}}$.

642 *Pratique de l'eurocode 2*

Données :

Géométrie :	b_w	1,2 m
	h	0,5 m
	d	0,45 m
Béton :	f_{ck}	25 MPa
	f_{cu}	16,7 MPa
	λ	0,8
	ϵ_{cu2}	0,0035
Aciers :	f_{yd}	435 MPa
	B	0
	A	435
	ϵ_{td}	1000000
	ϵ_{yd}	0,002175
Sollicitations :	M_{Ed4}	0,16 mMN
	$N_{Ed, réel}$	0,12633 MN

: valeur ou 0 pour diagramme $\sigma-\epsilon$ à palier horizontal
 : valeur ou f_{yd} pour diagramme $\sigma-\epsilon$ à palier horizontal
 : valeur ou infini (1 000 000) pour diagramme $\sigma-\epsilon$ à palier horizontal

$$x_e = \frac{E_s \cdot \epsilon_{cu2}}{E_s \cdot \epsilon_{cu2} - f_{yd}} (h - d) \quad 0$$

8.2.2 Cas du diagramme σ - ϵ à palier incliné

Moment de référence :

$$M_{RS} = \left(\frac{h}{d} - 1\right) \cdot \left[\left(\lambda + \frac{\lambda^2}{2}\right) - \frac{\lambda^2}{d} \cdot \frac{h}{d}\right] b_w \cdot d^2 \cdot f_{cu}$$

$$M_{RS} = \left(\frac{0,50}{0,45} - 1\right) \cdot \left[\left(0,8 + \frac{0,8^2}{2}\right) - \frac{0,8^2}{2} \cdot \frac{0,50}{0,45}\right] 1,20 \cdot 0,45^2 \cdot 16,7$$

$$M_{RS} = 0,345 \text{ mMN}$$

Position de l'axe neutre :

$$M_{EdA} \gg M_{RS}$$

$$M_{EdA} = 0,160 \text{ mMN} < 0,345 \text{ mMN} = M_{RS}$$

$x_u < h - d$ et les aciers supérieurs sont tendus.

Comme $h - d = 0,05$ m, prenons $x_u = 0,03$ m.

Première itération :

diagramme σ - ϵ à palier incliné

$$x_u \gg \frac{\epsilon_{cu2}}{\epsilon_{cu2} + \epsilon_{ud}} d$$

$$x_u = 0,03 \text{ m} < 0,0324 \text{ m} = \frac{3,5}{3,5 + 45} 0,45$$

\Rightarrow Pivot A

$$\epsilon_{s2} = \epsilon_{ud} \frac{h - d - x_u}{d - x_u}$$

$$\epsilon_{s2} = 0,045 \frac{0,50 - 0,45 - 0,03}{0,45 - 0,03} = 0,00214$$

$$\epsilon_{s1} = \epsilon_{ud}$$

$$\epsilon_{s1} = 0,045$$

$$\epsilon_{s2} \gg \epsilon_{yd} = \frac{f_{yd}}{E_s}$$

$$\epsilon_{s2} = 0,00214 < 0,00218 = \epsilon_{yd} = \frac{435}{2,10^5}$$

$$\Rightarrow \sigma_{s2} = E_s \cdot \epsilon_{s2} = 2,10^5 \cdot 0,00214 = 428 \text{ MPa}$$

$$\epsilon_{s1} \gg \epsilon_{yd} = \frac{f_{yd}}{E_s}$$

$$\epsilon_{s1} = 0,045 > 0,00218 = \epsilon_{yd} = \frac{435}{2,10^5}$$

$$\Rightarrow \sigma_{s1} = A + B \cdot \epsilon_{s1} = 433,2 + 727,27 \cdot 0,045$$

$$\sigma_{s1} = 466 \text{ MPa}$$

$$A = \frac{\lambda \cdot b_w \cdot x_u \cdot f_{cu} \left(d - \frac{\lambda}{2} x_u\right) - M_{EdA}}{\sigma_{s2} (2d - h)}$$

$$A = \frac{0,8 \cdot 1,20 \cdot 0,03 \cdot 16,7 \left(0,45 - \frac{0,8}{2} \cdot 0,03\right) - 0,160}{428 (2 \cdot 0,45 - 0,50)} 10^4$$

$$A = 2,96 \text{ cm}^2$$

$$N_{\text{Ed, calculé}} = \lambda \cdot b_w \cdot x_u \cdot f_{\text{cu}} - A \cdot (\sigma_{s1} + \sigma_{s2})$$

$$N_{\text{Ed, calculé}} = 0,8 \cdot 1,20 \cdot 0,0316 \cdot 7 - 2,96 \cdot 10^{-4} \cdot (435 + 428)$$

$$N_{\text{Ed, calculé}} = 0,216 \text{ MN}$$

$$N_{\text{Ed, calculé}} \gg N_{\text{Ed, réel}}$$

$$N_{\text{Ed, calculé}} = 0,216 \text{ MN} > 0,12633 \text{ MN} = N_{\text{Ed, réel}}$$

Comme $N_{\text{Ed, calculé}} > N_{\text{Ed, réel}}$, nous allons augmenter la valeur de x_u , ce qui aura pour effet de diminuer la contrainte σ_{s2} (mais faiblement) et d'augmenter la section d'aciers A (fortement) d'où le terme soustractif de $N_{\text{Ed, calculé}}$ augmente.

Itérations suivantes :

Étant donné la pente du diagramme contraintes-déformations de l'acier, σ_{s2} varie très vite.

Essayons $x_u = 0,045 \text{ m}$ et cherchons, par itérations successives à réaliser

$$N_{\text{Ed, calculé}} \approx N_{\text{Ed, réel}}$$

646 *Pratique de l'eurocode 2*

Données :

Géométrique :		b_w	1,2 m
		h	0,5 m
		d	0,45 m
Béton :		f_{ck}	25 MPa
		f_{cu}	16,7 MPa
		λ	0,8
		$\epsilon_{cu,2}$	0,0035
Aciers :		f_{yd}	435 MPa
		B	727,27
		A	433,2
		ϵ_{td}	0,045
		ϵ_{yd}	0,002175
Solllicitations :		M_{EdA}	0,16 mMN
		$N_{Ed, réel}$	0,12633 MN

: valeur ou 0 pour diagramme σ - ϵ à palier horizontal
 : valeur ou f_{yd} pour diagramme σ - ϵ à palier horizontal
 : valeur ou infini (1 000 000) pour diagramme σ - ϵ à palier horizontal

$$x_e = \frac{E_s \cdot \epsilon_{cu,2}}{E_s \cdot \epsilon_{cu,2} - f_{yd}} (h - d)$$

0



References : $M_{RS} = \frac{1}{d} \left(\frac{1}{d} - 1 \right) \left[\frac{d^2 + \frac{1}{2}}{2} \right] \frac{d^2}{2} \int_{-a}^a x^2 f_{,aa}$

$G_{RS,d}$

Calculs iteratifs : x_n

Pivot $\epsilon_{,2} = \epsilon_{,a2} = \frac{h-d-x_n}{d-x_n}$

Piv B $\epsilon_{,2} = \epsilon_{,a2} = \frac{x_n - (h-d)}{d-x_n}$

Piv A $\epsilon_{,2} = \epsilon_{,a2} = \frac{x_n - (h-d)}{d-x_n}$

Piv B $\epsilon_{,2} = \epsilon_{,a2} = \frac{x_n - (h-d)}{d-x_n}$

Retenu $\epsilon_{,2} = \epsilon_{,a2} = \frac{x_n - (h-d)}{d-x_n}$

Retenu $\epsilon_{,2} = \epsilon_{,a2} = \frac{x_n - (h-d)}{d-x_n}$

Hooke $\sigma_{,2} = E_{,a} \epsilon_{,2}$

Faillir $\sigma_{,2} = E_{,a} \epsilon_{,a2}$

Retenu $\sigma_{,2} = A + B \epsilon_{,2}$

Retenu $\sigma_{,2} = A + B \epsilon_{,a2}$

$M_{RS} \approx M_{RS}$

$A = \frac{\lambda \mu_{,a} \nu_{,a} \nu_{,a} \left(\frac{d-x_n}{2} - x_n \right) - M_{RS,d}}{\sigma_{,2} (2d-h)}$

$N_{RS,calcul} = \lambda \mu_{,a} \nu_{,a} \nu_{,a} \left(\frac{d-x_n}{2} - x_n \right) - A (\sigma_{,a1} + \sigma_{,a2})$

$N_{RS,calcul} \geq N_{RS,ret}$

$M_{RS} > M_{RS}$

$A = \frac{M_{RS,d} - \lambda \mu_{,a} \nu_{,a} \nu_{,a} \left(\frac{d-x_n}{2} - x_n \right)}{\sigma_{,2} (2d-h)}$

$N_{RS,calcul} = \lambda \mu_{,a} \nu_{,a} \nu_{,a} \left(\frac{d-x_n}{2} - x_n \right) - A (\sigma_{,a1} - \sigma_{,a2})$

$N_{RS,calcul} \geq N_{RS,ret}$

0,344688	0,045	0,0375	0,0315	0,0258125	0,020364888	0,015297109	0,010297007	0,005298574	0,000298766	0,000298719	0,000298742
0,00214286	0	0	0	0,000195067	0	0	0	0	0	0	0
-0,00214286	0	0	0	-0,000195067	0	0	0	0	0	0	0
0,045	0	0,0315	0,0385	0,04316667	0	0,0445	0,04382383	0,04411444	0,04437177	0,04437177	0,04437177
0,00214286	0,00038889	0,00116667	0,00166667	0,00195067	0,00183333	0,00175822	0,00179551	0,00181435	0,00182383	0,00181909	0,00182146
0,045	0,0315	0,0385	0,04316667	0,045	0,0445	0,04382383	0,04411444	0,04437177	0,04437177	0,04437177	0,04437177
428,571429	77,7777778	233,333333	337,037037	390,134529	366,666667	351,643192	339,101655	326,7807	314,291017	301,845084	290,134529
0	0	0	0	0	0	0	0	0	0	0	0
0	0	0	0	0	0	0	0	0	0	0	0
465,927215	456,109005	461,199895	464,393822	465,927215	465,563515	465,07184	465,319394	465,439284	465,501289	465,48767	465,472196
2,95519467	48,7485257	10,8773571	5,65081962	4,06548833	4,7602457	5,19000279	4,97143226	4,86966471	4,81241855	4,83865482	4,83251252
0,21661826	-4,88117936	-0,1542686	0,08809536	0,16289812	0,12988142	0,10968967	0,12691717	0,12814812	0,1265159	0,12627439	0,12633229
>	<	<	<	>	>	>	<	<	>	>	<
<	<	<	<	<	<	<	<	<	<	<	<



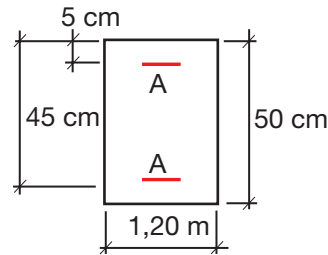
8.3 Pose du problème n° 2 – Cas où $M_{EdA} > M_{RS}$

On considère la section rectangulaire symétrique définie ci-contre.

Matériaux :

- béton : $f_{cu} = 16,7$ MPa, $\epsilon_{cu2} = 0,0035$;
- aciers : $f_{yd} = 435$ MPa, $E_s = 2 \cdot 10^5$ MPa.

Sollicitations : $M_{EdA} = 0,450$ mMN,
 $N_{Ed} = 0,12633$ MN.



Nous nous proposons de déterminer les armatures dans les cas suivants :

- aciers avec diagramme σ - ϵ à palier horizontal ($\epsilon_{ud} = \infty$) ;
- aciers avec diagramme σ - ϵ à palier incliné ($\epsilon_{ud} = 45$ ‰, $B = 727,27$ et $A = 433,20$ pour aciers S 500 B).

8.4 Solution

8.4.1 Cas du diagramme σ - ϵ à palier horizontal

Moment de référence :

$$M_{RS} = \left(\frac{h}{d} - 1 \right) \cdot \left[\left(\lambda + \frac{\lambda^2}{2} \right) - \frac{\lambda^2}{d} \cdot \frac{h}{d} \right] b_w \cdot d^2 \cdot f_{cu}$$

$$M_{RS} = \left(\frac{0,50}{0,45} - 1 \right) \cdot \left[\left(0,8 + \frac{0,8^2}{2} \right) - \frac{0,8^2}{2} \cdot \frac{0,50}{0,45} \right] 1,20 \cdot 0,45^2 \cdot 16,7$$

$$M_{RS} = 0,345 \text{ mMN}$$

Position de l'axe neutre :

$$M_{EdA} \gg M_{RS}$$

$$M_{EdA} = 0,450 \text{ mMN} > 0,345 \text{ mMN} = M_{RS}$$

$x_u > h - d$ et les aciers supérieurs sont comprimés.

Comme $h - d = 0,05$ m, prenons $x_u = 0,06$ m.

Première itération :

$$x_e = \frac{E_s \cdot \epsilon_{cu2}}{E_s \cdot \epsilon_{cu2} - f_{yd}} (h - d) \quad x_e = \frac{2 \cdot 10^5 \cdot 3,5 \cdot 10^{-3}}{2 \cdot 10^5 \cdot 3,5 \cdot 10^{-3} - 435} (0,50 - 0,45) = 0,132 \text{ m}$$

$$x_u \gg x_e$$

$$x_u = 0,06 \text{ m} < 0,132 \text{ m} = x_e$$

$$\Rightarrow \sigma_{s2} = E_s \cdot \epsilon_{cu2} \frac{x_u - (h - d)}{x_u}$$

$$\sigma_{s2} = 2.10^5 \cdot 0,0035 \frac{0,06 - (0,50 - 0,45)}{0,06} = 117 \text{ MPa}$$

$$\varepsilon_{s1} = \varepsilon_{cu2} \frac{d - x_u}{x_u}$$

$$\varepsilon_{s1} = 0,0035 \frac{0,45 - 0,06}{0,06} = 0,0228$$

$$\varepsilon_{s1} \gg \varepsilon_{yd} = \frac{f_{yd}}{E_s}$$

$$\varepsilon_{s1} = 0,0228 > 0,00218 = \varepsilon_{yd} = \frac{435}{2.10^5}$$

$$\Rightarrow \sigma_{s1} = f_{yd} = 435 \text{ MPa}$$

$$A = \frac{M_{EdA} - \lambda \cdot b_w \cdot x_u \cdot f_{cu} \left(d - \frac{\lambda}{2} x_u \right)}{\sigma_{s2} (2d - h)}$$

$$A = \frac{0,450 - 0,8 \cdot 1,20 \cdot 0,06 \cdot 16,7 \left(0,45 - \frac{0,8}{2} \cdot 0,06 \right)}{117 (2 \cdot 0,45 - 0,50)} 10^4$$

$$A = 8,59 \text{ cm}^2$$

$$N_{Ed, \text{calculé}} = \lambda \cdot b_w \cdot x_u \cdot f_{cu} - A \cdot (\sigma_{s1} - \sigma_{s2})$$

$$N_{Ed, \text{calculé}} = 0,8 \cdot 1,20 \cdot 0,06 \cdot 16,7 - 8,59 \cdot 10^{-4} \cdot (435 - 117)$$

$$N_{Ed, \text{calculé}} = 0,689 \text{ MN}$$

$$N_{Ed, \text{calculé}} \gg N_{Ed, \text{réel}}$$

$$N_{Ed, \text{calculé}} = 0,689 \text{ MN} > 0,12633 \text{ MN} = N_{Ed, \text{réel}}$$

Comme $N_{Ed, \text{calculé}} > N_{Ed, \text{réel}}$, nous allons diminuer la valeur de x_u , ce qui aura pour effet de diminuer la contrainte σ_{s2} (mais faiblement) et d'augmenter la section d'aciers A (fortement) d'où le terme soustractif de $N_{Ed, \text{calculé}}$ augmente.

Itérations suivantes :

Étant donné la pente du diagramme contraintes-déformations de l'acier, σ_{s2} varie très vite.

Essayons $x_u = 0,055 \text{ m}$ et cherchons, par itérations successives à réaliser $N_{Ed, \text{calculé}} \approx N_{Ed, \text{réel}}$.

Pratique de l'eurocode 2

Données :

Géométrie :	b_w	1,2 m
	h	0,5 m
	d	0,45 m
Béton :	f_{ck}	25 MPa
	f_{cu}	16,7 MPa
	λ	0,8
	ϵ_{cu2}	0,0035
Aciers :	f_{yd}	435 MPa
	B	0
	A	435
	ϵ_{td}	1000000
	ϵ_{yd}	0,002175
Sollicitations :	M_{EdA}	0,45 mMN
	$N_{Ed, réel}$	0,12633 MN

: valeur ou 0 pour diagramme σ - ϵ à palier horizontal
 : valeur ou f_{yd} pour diagramme σ - ϵ à palier horizontal
 : valeur ou infini (1 000 000) pour diagramme σ - ϵ à palier horizontal

$$x_e = \frac{E_s \cdot \epsilon_{cu2}}{E_s \cdot \epsilon_{cu2} - f_{yd}} (h - d) \quad 0,13207547$$

8.4.2 Cas du diagramme σ - ϵ à palier incliné

Moment de référence :

$$M_{RS} = \left(\frac{h}{d} - 1\right) \cdot \left[\left(\lambda + \frac{\lambda^2}{2}\right) - \frac{\lambda^2}{d} \cdot \frac{h}{d}\right] b_w \cdot d^2 \cdot f_{cu}$$

$$M_{RS} = \left(\frac{0,50}{0,45} - 1\right) \cdot \left[\left(0,8 + \frac{0,8^2}{2}\right) - \frac{0,8^2}{2} \cdot \frac{0,50}{0,45}\right] 1,20 \cdot 0,45^2 \cdot 16,7$$

$$M_{RS} = 0,345 \text{ mMN}$$

Position de l'axe neutre :

$$M_{EdA} \gg M_{RS}$$

$$M_{EdA} = 0,450 \text{ mMN} > 0,345 \text{ mMN} = M_{RS}$$

$x_u > h - d$ et les aciers supérieurs sont comprimés.

Comme $h - d = 0,05$ m, prenons $x_u = 0,06$ m.

Première itération :

$$x_{AB} = \frac{\epsilon_{cu2}}{\epsilon_{cu2} + \epsilon_{ud}} d$$

$$x_{AB} = \frac{3,5}{3,5 + 45} 0,45 = 0,032 \text{ m}$$

$$x_u \gg x_{AB}$$

$$x_u = 0,06 \text{ m} > 0,032 \text{ m} = x_{AB} \Rightarrow \text{Pivot B}$$

$$x_e = \frac{E_s \cdot \epsilon_{cu2}}{E_s \cdot \epsilon_{cu2} - f_{yd}} (h - d)$$

$$x_e = \frac{2 \cdot 10^5 \cdot 3,5 \cdot 10^{-3}}{2 \cdot 10^5 \cdot 3,5 \cdot 10^{-3} - 435} (0,50 - 0,45) = 0,132 \text{ m}$$

$$x_u \gg x_e$$

$$x_u = 0,06 \text{ m} < 0,132 \text{ m} = x_e$$

$$\Rightarrow \sigma_{s2} = E_s \cdot \epsilon_{cu2} \frac{x_u - (h - d)}{x_u}$$

$$\sigma_{s2} = 2 \cdot 10^5 \cdot 0,0035 \frac{0,06 - (0,50 - 0,45)}{0,06} = 117 \text{ MPa}$$

$$\epsilon_{s1} = \epsilon_{cu2} \frac{d - x_u}{x_u}$$

$$\epsilon_{s1} = 0,0035 \frac{0,45 - 0,06}{0,06} = 0,0228$$

$$\epsilon_{s1} \gg \epsilon_{yd} = \frac{f_{yd}}{E_s}$$

$$\epsilon_{s1} = 0,0228 > 0,00218 = \epsilon_{yd} = \frac{435}{2 \cdot 10^5}$$

$$\Rightarrow \sigma_{s1} = A + B \cdot \epsilon_{s1} = 433,2 + 727,27 \cdot 0,0228$$

$$\sigma_{s1} = 450 \text{ MPa}$$

$$A = \frac{M_{EdA} - \lambda \cdot b_w \cdot x_u \cdot f_{cu} \left(d - \frac{\lambda}{2} x_u\right)}{\sigma_{s2} (2d - h)}$$

$$A = \frac{0,450 - 0,8 \cdot 1,20 \cdot 0,06 \cdot 16,7 \left(0,45 - \frac{0,8}{2} \cdot 0,06\right)}{117(2,0,45 - 0,50)} 10^4$$

$$A = 8,59 \text{ cm}^2$$

$$N_{\text{Ed, calculé}} = \lambda \cdot b_w \cdot x_u \cdot f_{\text{cu}} - A \cdot (\sigma_{s1} - \sigma_{s2})$$

$$N_{\text{Ed, calculé}} = 0,8 \cdot 1,20 \cdot 0,06 \cdot 16,7 - 8,59 \cdot 10^{-4} \cdot (450 - 117)$$

$$N_{\text{Ed, calculé}} = 0,475 \text{ MN}$$

$$N_{\text{Ed, calculé}} \gg N_{\text{Ed, réel}}$$

$$N_{\text{Ed, calculé}} = 0,475 \text{ MN} > 0,12633 \text{ MN} = N_{\text{Ed, réel}}$$

Comme $N_{\text{Ed, calculé}} > N_{\text{Ed, réel}}$, nous allons diminuer la valeur de x_u , ce qui aura pour effet de diminuer la contrainte σ_{s2} (mais faiblement) et d'augmenter la section d'aciers A (fortement) d'où le terme soustractif de $N_{\text{Ed, calculé}}$ augmente.

Itérations suivantes :

Étant donné la pente du diagramme contraintes-déformations de l'acier, σ_{s2} varie très vite.

Essayons $x_u = 0,055 \text{ m}$ et cherchons, par itérations successives à réaliser $N_{\text{Ed, calculé}} \approx N_{\text{Ed, réel}}$.

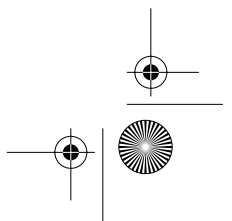
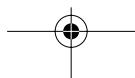
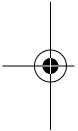
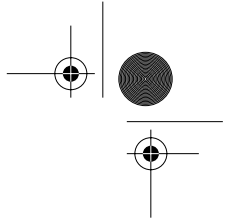
Pratique de l'eurocode 2

Données :

Géométrie :	
b_w	1,2 m
h	0,5 m
d	0,45 m
Béton :	
f_{ck}	25 MPa
f_{cu}	16,7 MPa
λ	0,8
$\epsilon_{cu,2}$	0,0035
Aciers :	
f_{yd}	435 MPa
B	727,27
A	433,2
ϵ_{ud}	0,045
ϵ_{yd}	0,002175
Sollicitations :	
M_{Ed4}	0,45 mMN
$N_{Ed, réél}$	0,12633 MN

: valeur ou 0 pour diagramme σ - ϵ à palier horizontal
 : valeur ou f_{yd} pour diagramme σ - ϵ à palier horizontal
 : valeur ou infini (1 000 000) pour diagramme σ - ϵ à palier horizontal

$$x_e = \frac{E_s \cdot \epsilon_{cu,2}}{E_s \cdot \epsilon_{cu,2} - f_{yd}} (h - d) \quad 0,132075472$$



A5

Vérification à l'ELU d'une section rectangulaire dont on connaît les armatures

On distingue les deux cas ci-après.

1. Section sans aciers comprimés ($A_{s2} = 0$)

1.1 Aciers avec diagramme σ - ε à palier horizontal

- 1/ Calculer μ_{lu} et en déduire $M_{lu} = \mu_{lu} \cdot b_w \cdot d^2 \cdot f_{cu}$.
- 2/ Si $M_{Ed} \leq M_{lu}$, le fait d'avoir $A_{s2} = 0$ est correct. Sinon, il faut prévoir des aciers comprimés et, comme la section n'en comporte pas, tout le dimensionnement (détermination de A_{s2} , puis de A_{s1}) est à reprendre.
- 3/ En déduire la position de l'axe neutre par l'équation d'équilibre des forces :

$$\lambda \cdot b_w \cdot x_u \cdot f_{cu} - A_{s1} \cdot f_{yd} = 0 \Rightarrow x_u = \frac{A_{s1} \cdot f_{yd}}{\lambda \cdot b_w \cdot f_{cu}}$$

- 4/ Calculer la valeur du bras de levier : $z_c = d - \frac{\lambda}{2} x_u$.
- 5/ En déduire le moment résistant à l'ELU : $M_{Ru} = A_{s1} \cdot f_{yd} \cdot z_c$.
- 6/ Il faut vérifier : $M_{Ru} \geq M_{Ed}$, sinon la section d'armatures tendues est insuffisante.

1.2 Aciers avec diagramme σ - ε à palier incliné

- 1/ Calculer μ_{lu} et en déduire $M_{lu} = \mu_{lu} \cdot b_w \cdot d^2 \cdot f_{cu}$.
- 2/ Si $M_{Ed} \leq M_{lu}$, le fait d'avoir $A_{s2} = 0$ est correct. Sinon, il faut prévoir des aciers comprimés et, comme la section n'en comporte pas, tout le dimensionnement (détermination de A_{s2} , puis de A_{s1}) est à reprendre.

3/ En déduire par approximations successives la position de l'axe neutre par l'équation d'équilibre des forces :

$$a) \lambda \cdot b_w \cdot x_u \cdot f_{cu} - A_{s1} \cdot \sigma_{s1} = 0 \Rightarrow x_u = \frac{A_{s1} \cdot \sigma_{s1}}{\lambda \cdot b_w \cdot f_{cu}}$$

avec $\sigma_{s1} = f_{yd}$

b) Si $x_u \leq \alpha_{AB} \cdot d \Rightarrow \varepsilon_{s1} = \varepsilon_{ud} \Rightarrow$

$$\sigma'_{s1} = \begin{cases} 454 \text{ MPa} : \text{S 500 A,} \\ 466 \text{ MPa} : \text{S 500 B,} \\ 493 \text{ MPa} : \text{S 500 C.} \end{cases}$$

Si $x_u > \alpha_{AB} \cdot d \Rightarrow \varepsilon_{s1} = \varepsilon_{cu2} \frac{1 - x_u}{x_u} \Rightarrow$

$$\sigma'_{s1} = \begin{cases} E_s \cdot \varepsilon_{s1} & \text{si } \varepsilon_{s1} < \varepsilon_{yd} = \frac{f_{yd}}{E_s}, \\ A + B \cdot \varepsilon_{s1} & \text{si } \varepsilon_{s1} \geq \varepsilon_{yd} = \frac{f_{yd}}{E_s}. \end{cases}$$

les coefficients A et B sont ceux figurant au § 2.4.2.1, chapitre 3 : « Béton armé – Généralités », p. 53.

c) comparer σ'_{s1} à la contrainte utilisée précédemment pour calculer x_u et recommencer les étapes a/ et b/ avec σ'_{s1} jusqu'à ce que la valeur de la contrainte des aciers tendus se stabilise.

4/ Calculer la valeur du bras de levier : $z_c = d - \frac{\lambda}{2} x_u$.

5/ En déduire le moment résistant à l'ELU : $M_{Ru} = A_{s1} \cdot \sigma_{s1} \cdot z_c$.

6/ Il faut vérifier : $M_{Ru} \geq M_{Ed}$, sinon la section d'armatures tendues est insuffisante.

2. Section avec aciers comprimés ($A_{s2} \neq 0$)

2.1 Aciers avec diagramme σ - ε à palier horizontal

Peu importe, dans ce cas, que M_{Ed} soit supérieur ou non à M_{lu} . Le mode opératoire est le suivant :

1/ calculer la contrainte équivalente des aciers comprimés à l'ELU :

a) si σ_c est limitée :

$$\sigma_{s2, e} = 0,6 \cdot \alpha_e \cdot \gamma \cdot f_{ck} - \delta' (A \cdot f_{ck} + B) \leq 435 \text{ MPa (S 500)}$$

les coefficients A et B sont ceux figurant au § 3.3.3, chapitre 7 : « Flexion simple », p. 175, pour les aciers avec diagramme σ - ε à palier horizontal.

b) si σ_c n'est pas limitée :

$$\alpha_1 = \frac{1}{\lambda} \left[1 - \sqrt{1 - 2 \cdot \mu_{lu}} \right] \text{ avec } \mu_{lu} = \mu_{ls}$$

$$\sigma_{s2, e} = \text{Min} \begin{cases} E_s \cdot \nu_{s2, u} = E_s \frac{\alpha_1 - \delta'}{\alpha_1} \text{ où } \delta' = \frac{d'}{d} \\ f_{yd} \end{cases}$$

2/ si $M_{Ed} > M_{lu}$, vérifier que la section d'aciers comprimés convient :

$$A_{s2} \geq \frac{M_{Ed} - M_{lu}}{(d - d') \sigma_{s2, e}}$$

3/ déterminer la position de l'axe neutre par l'équation d'équilibre des forces :

$$\lambda \cdot b_w \cdot x_u \cdot f_{cu} - A_{s1} \cdot f_{yd} + A_{s2} \cdot \sigma_{s2, e} = 0 \Rightarrow x_u = \frac{A_{s1} \cdot f_{yd} - A_{s2} \cdot \sigma_{s2, e}}{\lambda \cdot b_w \cdot f_{cu}}$$

4/ calculer la valeur du bras de levier du béton seul : $z_c = d - \frac{\lambda}{2} x_u$.

5/ en déduire le moment résistant à l'ELU (par rapport aux aciers tendus) :

$$M_{Ru} = \lambda \cdot b_w \cdot x_u \cdot f_{cu} \cdot z_c + A_{s2} \cdot \sigma_{s2, e} [d - d']$$

6/ il faut vérifier : $M_{Ru} \geq M_{Ed}$, sinon la section d'armatures (tendues et/ou comprimées) est insuffisante.

2.2 Aciers avec diagramme σ - ε à palier incliné

Peu importe, dans ce cas, que M_{Ed} soit supérieur ou non à M_{lu} . Le mode opératoire est le suivant :

1/ calculer la contrainte équivalente des aciers comprimés à l'ELU :

a) si σ_c est limitée :

$$\sigma_{s2, e} = 0,6 \cdot \alpha_e \cdot \gamma \cdot f_{ck} - \delta' (A \cdot f_{ck} + B) \leq 435 \text{ MPa (S 500)}$$

les coefficients A et B sont ceux figurant au § 3.3.3, chapitre 7 : « Flexion simple », p. 175, pour les aciers avec diagramme σ - ε à palier incliné.

b/ si σ_c n'est pas limitée :

660 *Pratique de l'eurocode 2*

$$\alpha_1 = \frac{1}{\lambda} \left[1 - \sqrt{1 - 2 \cdot \mu_{lu}} \right] \text{ avec } \mu_{lu} = \mu_{ls}$$

$$v_{s2, u} = \varepsilon_{cu2} \frac{\alpha_1 - \delta'}{\alpha_1} \text{ où } \delta' = \frac{d'}{d}$$

$$\sigma_{s2, e} = \text{Min} \begin{cases} E_s \cdot v_{s2, u} = E_s \cdot \varepsilon_{cu2} \frac{\alpha_1 - \delta'}{\alpha_1} \text{ où } \delta' = \frac{d'}{d} \\ A + B \cdot v_{s2, u} \end{cases}$$

les coefficients A et B sont ceux figurant au § 2.4.2.1, chapitre 3 : « Béton armé – Généralités », p. 69.

2/ si $M_{Ed} > M_{lu}$, vérifier que la section d'aciers comprimés convient :

$$A_{s2} \geq \frac{M_{Ed} - M_{lu}}{(d - d') \sigma_{s2, e}}$$

3/ déterminer par approximations successives la position de l'axe neutre par l'équation d'équilibre des forces :

$$a) \lambda \cdot b_w \cdot x_u \cdot f_{cu} - A_{s1} \cdot \sigma_{s1} + A_{s2} \cdot \sigma_{s2} = 0 \Rightarrow x_u = \frac{A_{s1} \cdot \sigma_{s1} - A_{s2} \cdot \sigma_{s2}}{\lambda \cdot b_w \cdot f_{cu}} \text{ avec } \sigma_{s1} = f_{yd} \text{ et } \sigma_{s2} = \sigma_{s2, e}$$

$$b) \text{ Si } x_u \leq \alpha_{AB} \cdot d \Rightarrow \varepsilon_{s1} = \varepsilon_{ud} \Rightarrow \sigma'_{s1} = \begin{cases} 454 \text{ MPa : S 500 A,} \\ 466 \text{ MPa : S 500 B,} \\ 493 \text{ MPa : S 500 C.} \end{cases}$$

$$\text{Si } x_u > \alpha_{AB} \cdot d \Rightarrow \varepsilon_{s1} = \varepsilon_{cu2} \frac{1 - x_u}{x_u} \Rightarrow$$

$$\sigma'_{s1} = \begin{cases} E_s \cdot \varepsilon_{s1} \text{ si } \varepsilon_{s1} < \varepsilon_{yd} = \frac{f_{yd}}{E_s}, \\ A + B \cdot \varepsilon_{s1} \text{ si } \varepsilon_{s1} \geq \varepsilon_{yd} = \frac{f_{yd}}{E_s}. \end{cases}$$

les coefficients A et B sont ceux figurant au § 2.4.2.1, chapitre 3 : « Béton armé – Généralités », p. 69,

c) comparer σ'_{s1} à la contrainte utilisée précédemment pour calculer x_u et recommencer les étapes a) et b) avec σ'_{s1} jusqu'à ce que la valeur de la contrainte des aciers tendus se stabilise.

4/ calculer la valeur du bras de levier du béton seul : $z_c = d - \frac{\lambda}{2} x_u$.

5/ en déduire le moment résistant à l'ELU (par rapport aux aciers tendus) :

$$M_{Ru} = \lambda \cdot b_w \cdot x_u \cdot f_{cu} \cdot z_c + A_{s2} \cdot \sigma_{s2, e} [d - d'].$$

6/ il faut vérifier : $M_{Ru} \geq M_{Ed}$, sinon la section d'armatures (tendues et/ou comprimées) est insuffisante.

2.3 Remarque pour les aciers avec diagramme contraintes-déformations à palier horizontal

2.3.1 Remarque préliminaire

La condition pour que la contrainte des armatures comprimées soit obtenue par la droite de Hooke du diagramme contraintes-déformations des aciers est obtenue de la façon suivante :

$$\varepsilon_{s2} = \varepsilon_{cu2} \frac{x_u - d'}{x_u}$$

$$\sigma_{s2} = E_s \cdot \varepsilon_{s2} = E_s \cdot \varepsilon_{cu2} \frac{x_u - d'}{x_u}$$

D'où, pour que la contrainte appartienne à la droite de Hooke, il faut que :

$$\sigma_{s2} = E_s \cdot \varepsilon_{cu2} \frac{x_u - d'}{x_u} \leq f_{yd} \Rightarrow x_u \leq \frac{E_s \cdot \varepsilon_{cu2}}{E_s \cdot \varepsilon_{cu2} - f_{yd}} d'$$

Ce qui conduit, pour les cas courants où l'on a un béton de classe au plus égale à C50/60 à :

$$E_s \cdot \varepsilon_{cu2} = 2.10^5 \cdot 3,5.10^{-3} = 700 \Rightarrow x_u \leq \frac{700}{700 - f_{yd}} d'$$

2.3.2 Méthode

1/ Se donner une position de départ de l'axe neutre :

$$\left. \begin{array}{l} \lambda \cdot b_w \cdot x_{u1} \cdot f_{cu} + A_{s2} \cdot \sigma_{s2} - A_{s1} \cdot \sigma_{s1} = 0 \\ \sigma_{s1} = \sigma_{s2} = f_{yd} \end{array} \right\} \Rightarrow x_{u1} = \frac{(A_{s1} - A_{s2}) \cdot f_{yd}}{\lambda \cdot b_w \cdot f_{cu}}$$

Si $x_{u1} \geq \frac{700 \cdot d'}{700 - f_{yd}}$, prendre :

$$M_{Ru} = \lambda \cdot b_w \cdot x_{u1} \cdot f_{cu} \left(d - \frac{\lambda}{2} x_{u1} \right) + A_{s2} \cdot f_{yd} (d - d')$$

662 *Pratique de l'eurocode 2*

Puis faire la vérification de l'étape 4 ci-dessous.

$$3/ \text{ Si } x_{u1} < \frac{700 \cdot d'}{700 - f_{yd}} :$$

a) choisir $x_{u2} < x_{u1}$ et calculer :

$$\sigma_{s2, u2} = 700 \frac{x_{u2} - d'}{x_{u2}} \text{ si } x_{u2} \geq \alpha_{AB} \cdot d, \text{ ce qui est toujours le cas pour les aciers avec diagramme } \sigma\text{-}\varepsilon \text{ à palier horizontal,}$$

$$\sigma_{s2, u2} = 2 \cdot 10^5 \cdot \varepsilon_{ud} \frac{x_{u2} - d'}{d - x_{u2}} \text{ si } x_{u2} < \alpha_{AB} \cdot d,$$

b) en déduire la nouvelle position de l'axe neutre :

$$x_{u3} = \frac{A_{s1} \cdot f_{yd} - A_{s2} \cdot \sigma_{s2, u2}}{\lambda \cdot b_w \cdot f_{cu}}$$

c) recommencer avec cette valeur le calcul de $\sigma_{s2, u3}$, d'où x_{u4} , etc., jusqu'à trouver $x_{ui+1} \approx x_{ui}$

d) d'où la valeur du moment résistant à l'ELU par rapport aux aciers tendus :

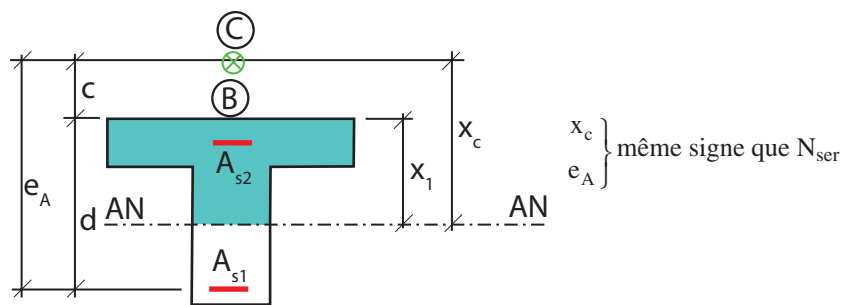
$$M_{Ru} = \lambda \cdot b_w \cdot x_{ui} \cdot f_{cu} \left(d - \frac{\lambda}{2} x_{ui} \right) + A_{s2} \cdot \sigma_{s2, ui} [d - d'].$$

4/ il faut vérifier : $M_{Ru} \geq M_{Ed}$, sinon la section d'armatures (tendues et/ou comprimées) est insuffisante.

A6

Flexion composée – Vérification des contraintes à l'ELS pour une section quelconque

1. Notations



x_1 = distance toujours positive de la fibre la plus comprimée B de la section à l'axe neutre,

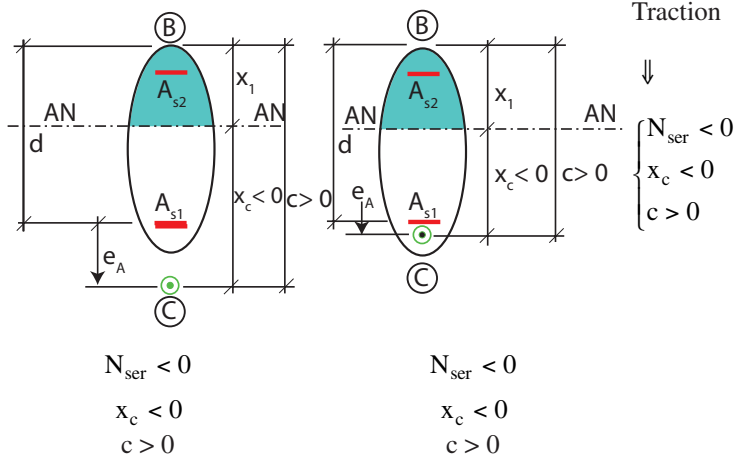
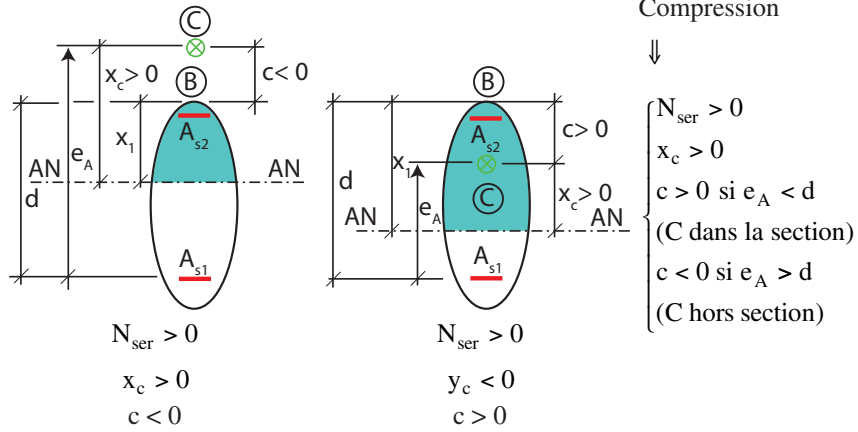
x_c = distance du centre de pression C à l'axe neutre, de même signe que N_{ser} ,

e_A = distance du centre de gravité des aciers tendus au centre de pression C, de même signe que N_{ser} ,

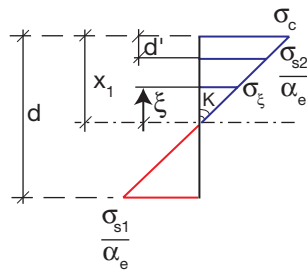
c = distance de la fibre la plus comprimée B de la section au centre de pression C définie par :

$$c = d - e_A$$

664 *Pratique de l'eurocode 2*



On en déduit :



$$x_1 = x_c + c,$$

K = coefficient angulaire du diagramme des contraintes,

$$\sigma_\xi = K \cdot \xi,$$

$$\alpha_e = \frac{E_s}{E_{c, \text{eff}}}$$

2. Caractéristiques géométriques des sections

S_{cf} = moment statique, par rapport à l'axe neutre, de la section homogène réduite A_{cf} :

$$S_{cf} = \int_{A_{cf}} \xi \cdot \alpha_e \cdot dA_{cf}$$

avec :

$$\alpha_e = \begin{cases} 1 & \text{si } dA_{cf} = \text{ fibre de béton comprimé} \\ \alpha_e & \text{si } dA_{cf} = \text{ fibre d'acier} \end{cases}$$

Remarque

Comme la résultante des contraintes normales n'est pas nulle, le moment statique par rapport à l'axe neutre de la section homogène réduite totale ($A_{cf} = (A_c - A_{ct}) + \alpha_e \cdot A_{s1} + \alpha_e \cdot A_{s2}$) n'est pas nul (S_{cf} est différent de S_1 utilisé au § 1.1.3, chapitre 8 : « Effort tranchant », p. 293).

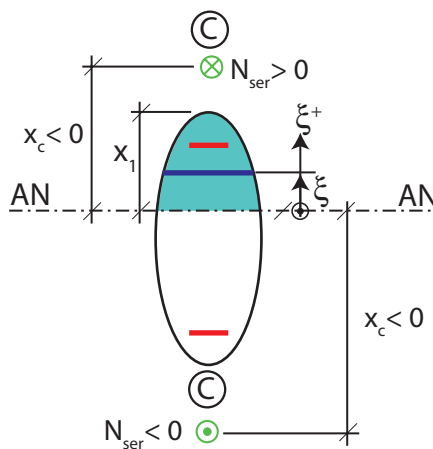
I_{cf} = moment d'inertie, par rapport à l'axe neutre, de la section homogène réduite A_{cf} :

$$I_{cf} = \int_{A_{cf}} \xi^2 \cdot \alpha_e \cdot dA_{cf}$$

S_c = moment statique, par rapport à la parallèle à l'axe neutre passant par C, de la section homogène réduite A_{cf} :

$$S_c = -\int_{A_{cf}} (x_c - \xi) \alpha_e \cdot dA_{cf} = -x_c \int_{A_{cf}} \alpha_e \cdot dA_{cf} + S_{cf}$$

le signe négatif provenant du fait que l'aire est au-dessous de l'axe passant par C lorsque $x_c > 0$ (ou $N_{ser} > 0$) ou au-dessus de cet axe lorsque $x_c < 0$ (ou $N_{ser} < 0$).



666 *Pratique de l'eurocode 2*

I_c = moment d'inertie, par rapport à la parallèle à l'axe neutre passant par C, de la section homogène réduite A_{cf} :

$$I_c = \int_{A_{cf}} (x_c - \xi)^2 \alpha_e \cdot dA_{cf} = x_c^2 \underbrace{\int_{A_{cf}} \alpha_e \cdot dA_{cf}}_{\frac{1}{x_c} [S_{cf} - S_c]} - 2 \cdot x_c \underbrace{\int_{A_{cf}} \xi \cdot \alpha_e \cdot dA_{cf}}_{S_{cf}} + \underbrace{\int_{A_{cf}} \xi^2 \cdot \alpha_e \cdot dA_{cf}}_{I_{cf}}$$

$$I_c = -x_c \cdot S_{cf} - x_c \cdot S_c + I_{cf}$$

ou encore :

$$I_c + x_c \cdot S_c = I_{cf} - x_c \cdot S_{cf}$$

3. Position de l'axe neutre x_c

La force élastique élémentaire a pour valeur :

$$dF = \sigma_\xi \cdot \alpha_e \cdot dA_{cf} = K \cdot \xi \cdot \alpha_e \cdot dA_{cf}$$

En écrivant que le moment des forces élastiques élémentaires est nul en C, on obtient :

$$K \int_{A_{cf}} \xi \cdot \alpha_e \cdot dA_{cf} (x_c - \xi) = 0$$

$$K \cdot x_c \int_{A_{cf}} \xi \cdot \alpha_e \cdot dA_{cf} - K \int_{A_{cf}} \xi^2 \cdot \alpha_e \cdot dA_{cf} = 0$$

$$K [x_c \cdot S_{cf} - I_{cf}] = 0 \Rightarrow x_c = \frac{I_{cf}}{S_{cf}}$$

ou encore :

$$I_c + x_c \cdot S_c = I_{cf} - x_c \cdot S_{cf} = 0 \Rightarrow x_c = -\frac{I_c}{S_c}$$

Remarque

Pour les sections rectangulaires ou en T, x_c s'obtient par résolution d'une équation du troisième degré (voir § 2.4.3.1 et 2.4.3.2, chapitre 11 : « Flexion composée », p. 443).

4. Expression du coefficient angulaire K

En écrivant que le moment des forces élastiques élémentaires par rapport à l'axe neutre vaut :

$$M_{ser/AN} = N_{ser} \cdot x_c$$

il vient :

$$N_{\text{ser}} \cdot x_c = \int_{A_{\text{cf}}} \sigma_{\xi} \cdot \xi \cdot \alpha_e \cdot dA_{\text{cf}} = K \int_{A_{\text{cf}}} \xi^2 \cdot \alpha_e \cdot dA_{\text{cf}} = K \cdot I_{\text{cf}}$$

d'où :

$$K = \frac{N_{\text{ser}} \cdot x_c}{I_{\text{cf}}}$$

Remarque

$N_{\text{ser}} \cdot x_c$ est différent de $N_{\text{ser}} \cdot e_0 = M_{\text{ser}G_0} \Rightarrow K$ est différent de $\frac{M_{\text{ser}}}{I_{\text{cf}}}$ comme c'était le cas en flexion simple.

5. Calcul des contraintes

Pour une section droite quelconque donnée (béton et position des armatures), le processus de calcul s'établit comme suit :

1/ calculer les caractéristiques géométriques de la section par rapport à une parallèle à l'axe neutre passant par le centre de pression C :

$$S_c = - \int_{A_{\text{cf}}} (x_c - \xi) \alpha_e \cdot dA_{\text{cf}} \Rightarrow S_c(x_c)$$

$$I_c = \int_{A_{\text{cf}}} (x_c - \xi)^2 \alpha_e \cdot dA_{\text{cf}} \Rightarrow I_c(x_c)$$

2/ en déduire la profondeur de l'axe neutre :

$$x_c = - \frac{I_c(x_c)}{S_c(x_c)}$$

$\Rightarrow x_c$ par résolution de cette équation.

$\Rightarrow x_1 = x_c + c$

3/ faire la vérification des contraintes :

$$\sigma_c = K \cdot x_1 \leq \overline{\sigma}_c \quad \text{pour les classes d'exposition XD, XF et XS}$$

$$\sigma_{s1} = \alpha_e \cdot K (d - x_1) \leq \overline{\sigma}_s$$

$$\sigma_{s2} = \alpha_e \cdot K (x_1 - d')$$

